

センダン材、シバニッケイ材の成長輪の細胞構造

琉球大学農学部 林 弘也、平川 明彦

1. はじめに

広葉樹材は構成する要素の種類や分布状態や配列などに基づいて、材の構造を表し、材識別の根拠としている。環孔材、放射孔材、散孔材、紋様孔材、無孔材など管孔配列に基づいて分類されている。しかし、要素の容積割合、要素の寸法、分布数など材質に影響する因子を解析検討した報告は少ない。特に散孔材は管孔径に変動があると認められた材もある⁴が、多くの材は均質な材と考えられている。近年、管孔の放射方向径や要素の容積割合が一定でないことが報告され^{1,2,3,5}、散孔材も均質でないことが明らかにされてきた。本報告は、組織構造を解析する最少単位として成長輪を考え、環孔材のセンダン (*Melia azedarach*) と散孔材のシバニッケイ (*Cinnamomum doederleinii*) の要素の形態や分布状態を検討し、広葉樹材の成長輪の細胞構造を明かにすることを目的にした。

2. 実験材料および実験方法

供試材のセンダン材とシバニッケイ材は宮崎大学付属演習林産（宮崎県宮崎郡田野町）であり、地上高1.0～1.5mから円板を採取した。正常な成熟材部から約1cm³のブロックを纖維軸方向に連続して4個切り出し供試体とした。供試体は水・グリセリンの混合液で加熱軟化した後、ミクロトームを用いて厚さ18～25μmの切片を切り出した。切片はサフラニンで染色した後に常法により永久プレパラートを作製し、日本光学製の生物顕微鏡で観察した。

計測は成長輪を放射方向に等間隔に区分し、センダン材は、道管の計測では8区分点から6区分点、木部纖維と軸方向柔細胞の計測では19区分点から8区分点を、シバニッケイ材は、道管では4区分点の全てを、木部纖維、軸方向柔細胞は8区分点から4区分点を計測した。測定点は成長輪に沿って放射方向に6列を任意に選んだ。

計測項目は重心を通る4方向直径、細胞壁厚である。オリンパス光学工業製のイメージアナライザXL-500

型を使用し、ブラウン管上で不完全な形の要素、対象要素以外の要素を削除して、自動計測を行った。細胞壁厚はマニュアルで計測した。

3. 実験結果および考察

1) 道管の直径

放射方向の直径をFig.1に示した。センダン材の第二測定点はA測定列では21～273μm、D測定列では320μmの道管がある。しかし、他の測定列の道管直径は19～130μmの範囲にあり、A、D列の第二測定点データは孔圈(252～356μm、平均284.8μm)の道管と孔圈外の道管(孔圈道管直径の約1/3)が含まれている。他の列では、孔圈道管が第一測定点に分布された。このことは、孔圈幅が成長輪上の位置により異なっていることを示す。直径は、孔圈外では極端に減少し、放射方向に波形の変動を示している。シバニッケイ材は最大直径と最小直径との差は小さく、早材部と晩材部との直径の比はセンダン材が約11.9であるのに対して約1.3であった。接線方向の直径でも同様の変化が認められた。

直径はセンダン材、シバニッケイ材共に、放射方向

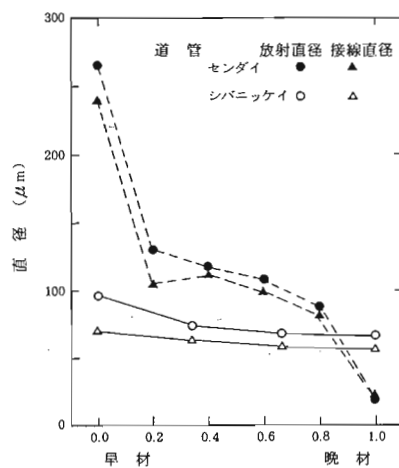


Fig. 1. 道管の直径変動

と接線方向との間には、直線関係が認められ、実験式をTable1に示した。実験式は相関関係が高く、道管は、接線方向よりも放射方向に大きいことが認められた。しかし、センダン材の放射方向直径100 μm以上では、両直径の比は1.06～1.10の値を示し、50 μm以下では一定した値を示さなかった。シバニッケイ材は、全直径範囲にわたり1.0以上であり、放射方向の直径が大きい結果を得た。したがって、道管は全体的に放射方向に大きい直径を持つが、環孔材の孔圈外道管は一定した傾向を示さない。

2) 木部纖維の直径

センダン材は、早材の初期では直径が小さく、第二測定点（成長輪幅の約50%）までは直径が増大し、これ以降の測定点では減少する。第一測定点と第二測定点の値には有意差は認められないが、第三測定点以降の各測定点値間には1%の危険率で有意差があり、直径は減少する。シバニッケイ材では、センダン材と同様に早材部の直径は小さいが、第二測定点（成長輪幅の約30%）は直径が大きくなる。第一測定点と第二測定点は危険率1%で有意差が認められた。第三測定点以降の各点間には有意差が認められず、一定値の直径であった。直径の成長輪内の変動をFig.2の示した。Table1に示すように接線直径と放射直径との相関係数は低く、センダン材は0.484であり、シバニッケイ材は約0.3付近にあり、明白な相関があるとはいえない。

3) 軸方向柔細胞の直径

センダン材は、接線、放射の両直径ともに成長輪の0.5～0.6付近に最大値があり、晩材側成長輪界に向けて減少する。早材の直径と最大直径の間には有意差は認められず、晩材の直径と最大直径との間には有意差が認められた。シバニッケイ材は、接線直径はほぼ一定の値を示すが、放射直径は早材から晩材に向かう增加する。しかし、生長輪幅の大略0.5の位置から晩材側成長輪界までは、測定値相互に有意差が認められなかっ

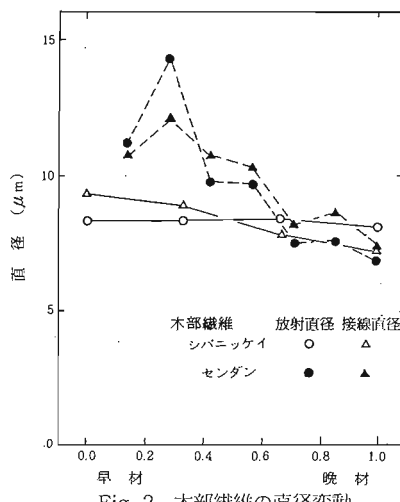


Fig. 2 木部纖維の直径変動

た。環孔材では散孔材の分布に比べてほぼ逆の傾向を示したが、この分布は木部纖維の直径分布と同じであった。

4) 細胞壁厚

道管および木部纖維の壁厚は、センダン材では早材部から晩材部に向けて薄くなるが、シバニッケイ材では壁厚の差がない。軸方向柔細胞は、両樹種とともに一定した壁厚を示した。センダン材とシバニッケイ材とは、要素の寸法成長の過程が異なっているばかりでなく、細胞壁の肥厚成長でも過程が異なり、両樹種の成長過程の違いが明かになった。

4. 結論

センダン、シバニッケイ材の成長輪内の要素の寸法を検討し、次の結果が得られた。

1、道管直径は、センダン材は、放射直径50 μm以上では放射直径が接線直径よりも大きく、シバニッケイ材は、全道管とも放射直径が接線直径よりも大きくなる。

2、道管の直径は早材の初めに最大値がある。他の要素の直径は、センダン材では早材側の生長輪界から生長輪幅の0.3～0.5の位置に最大値があり、シバニッケイ材では生長輪幅の0.3～0.5の位置に最大値がある。以降の材部では、センダン材では直径が減少するが、シバニッケイ材では一定値である。

3、環孔材のセンダンは、道管、木部纖維の壁厚が早材から晩材に薄くなるが、散孔材のシバニッケイは一定した壁厚である。

参考文献

- (1) 林弘也、垂内朋美：1988、日林九支研論集、No.41, p217～218
- (2) 林弘也ほか：1989、琉大農学報、No.36, p123～129
- (3) IFU, G.: 1983, Wood Fiber Sci. 15(4), 326～337
- (4) 小林弥一、須藤彰司：木材識別カード、東京、日本林業技術協会
- (5) 宮田生ほか：1987、第37回日本学研要旨、p.67

Table 1 Correlation of diameter between radial and tangential direction

Species	Empirical equation	Coefficient of correlation
Vessel		
SENDAN-wood	$Y = 1.145X - 4.400$	0.980
SHIBANIKKENI-wood	$Y = 1.300X - 4.588$	0.779
wood Fiber		
SENDAN-wood	$Y = 0.365X + 6.890$	0.484
SHIBANIKKENI-wood	$Y = 0.402X + 4.047$	0.291

Y:radial diameter X:tangential diameter